

Зондирование HDO / H₂O в атмосфере Урала методом наземных измерений ИК-спектров солнечного излучения с высоким спектральным разрешением

К.Г. Грибанов¹, В.И. Захаров¹, С.А. Береснев², Н.В. Рокотян¹,
В.А. Поддубный³, R. Imasu⁴, П.А. Чистяков⁵, Г.Г. Скорик⁴, В.В. Васин^{5*}

¹Уральский государственный университет им. А.М.Горького,
лаборатория глобальной экологии и спутникового мониторинга
620083, г. Екатеринбург, пр. Ленина, 51, Россия

²Уральский государственный университет им. А.М.Горького, лаборатория физики аэрозолей
620083, г. Екатеринбург, пр. Ленина, 51, Россия

³Институт промышленной экологии УрО РАН
620019, г. Екатеринбург, ГСП-594, ул. Софии Ковалевской, 20А, Россия

⁴Center for Climate System Research, University of Tokyo,
5-1-5, Kashiwanoha, Kashiwa-shi, Chiba, 277-8568, Japan

⁵Институт математики и механики УрО РАН
620219, г. Екатеринбург, ГСП-384, ул. Софии Ковалевской, 16, Россия

Поступила в редакцию 28.08.2010 г.

Описывается Уральская атмосферная Фурье-станция, работающая на базе современного Фурье-спектрометра Bruker IFS-125M, сопряженного с автоматизированным солнечным трекером A547N. Станция расположена в лесной зоне с координатами 57,038° с.ш., 59,545° в.д. и предназначена для мониторинга следовых газов в фоновой атмосфере и валидации спутниковых данных. Приведены образцы измеренных спектров пропускания безоблачной атмосферой солнечного излучения в ближней ИК-области с высоким спектральным разрешением и первые результаты определения из них относительного содержания молекул тяжелой воды в атмосфере Урала.

Ключевые слова: зондирование атмосферы, Фурье-спектрометрия, парниковые газы, гидрологический цикл, HDO, обратные задачи, высотные профили; remote sensing, Fourier-spectrometry, greenhouse gases, hydrological cycle, HDO, inverse tasks, altitude profiles.

В июле 2009 г. на территории Коуровской астрономической обсерватории Уральского государственного университета введена в строй Уральская атмосферная Фурье-станция (УАФС). Станция расположена в фоновом лесном районе (57,038° с.ш., 59,545° в.д., высота около 300 м над уровнем моря), в 80 км на северо-западе от г. Екатеринбурга. УАФС оборудована современным Фурье-спектрометром высокого разрешения Bruker IFS125M, его рабочий спектральный диапазон – от дальнего ИК до видимого. Фурье-спектрометр сопряжен с автоматизированным солнечным трекером A547N, рас-

положенным на крыше рабочего павильона и через систему зеркал направляющим солнечное излучение на вход спектрометра.

Спектрометр расположен внутри павильона в теплоизолированной комнате, в которой кондиционер поддерживает заданную рабочую температуру. В качестве вспомогательного оборудования имеется также современный автоматизированный ультразвуковой метеорологический комплект МЕТЕО-2, разработанный в Институте оптики атмосферы СО РАН [1], для измерения атмосферного давления, температуры, влажности и компонент скоростей ветра в процессе регистрации спектров.

УАФС предназначена для мониторинга следовых газов в атмосфере, накопления временных рядов данных, а также для задач валидации данных спутникового зондирования, таких как GOSAT, OCO-2 и др. Основные характеристики Фурье-спектрометра таковы: полный спектральный диапазон (с использованием трех детекторов) 420–25000 см⁻¹ (0,4–24 мкм); разрешение сканера – не менее 0,0035 см⁻¹; интерфейс к управляющему компьютеру Ethernet с прото-

* Костантин Геннадьевич Грибанов (kgribanov@remotesensing.ru); Вячеслав Иосифович Захаров (v.zakharov@remotesensing.ru); Сергей Анатольевич Береснев (sergey.beresnev@usu.ru); Никита Валерьевич Рокотян (Rokotyan@live.com); Василий Алексеевич Поддубный (Basil@ecko.uran.ru); Ryoichi Imasu (imasu@ccsr.u-tokyo.ac.jp); Павел Александрович Чистяков (p_a_v_e_l@isnet.ru); Георгий Григорьевич Скорик (skorik@imm.uran.ru); Владимир Васильевич Васин (vasin@imm.uran.ru).

колом TCP/IP; точность позиционирования солнечного трекера – 2 угл. мин.

Измерения спектров пропускания атмосферой солнечного излучения проводятся в ясные безоблачные дни. При решении обратных задач по определению концентрации искомых газов в атмосфере из ее спектров пропускания используются образцы спектров, соответствующие относительно безветренным (скорость ветра менее 2 м/с) состояниям атмосферы со слабым аэрозольным замутнением. Для селекции спектров атмосферы со слабым аэрозольным замутнением используются независимые измерения аэрозольной оптической толщи, сделанные с помощью солнечного фотометра CIMEL CE-318. Данный фотометр является локальным сегментом международной сети Aerosol Robotics Network (AERONET) [2] и размещен рядом с солнечным трекером. Благодаря высокому спектральному разрешению Фурье-спектрометра Bruker IFS125M и высокому отношению сигнал-шум (~ 1000) в инфракрасных спектрах пропускания атмосферы, удается выделить достаточно изолированные линии колебательно-вращательных переходов значительного количества атмосферных газов. Подобные спектрометрические комплексы являются перспективным инструментом зондирования атмосферы и позволяют осуществлять мониторинг различных следовых газов в атмосфере, таких как CO_2 , CH_4 , CO , O_3 , N_xO_y , H_2O , HNO_3 , HCl , HF и др. [3].

В данной статье для анализа отобраны и обработаны 12 спектров пропускания безоблачной слабо-аэрозольной атмосферы в ближней ИК-области в диапазоне $4000\text{--}9000\text{ cm}^{-1}$, зарегистрированных 8 сентября 2009 г. с максимальным разрешением $0,0035\text{ cm}^{-1}$. Все спектры измерялись с использованием InGaAs-детектора, работающего при комнатной температуре. По данным солнечного фотометра CIMEL CE-318 от 08.09.2009 г. аэрозольная оптическая толща атмосферы τ_a на длине волны 1,02 мкм в Коуровке варьировалась в интервале $0,05 < \tau_a < 0,1$. На рис. 1 приведен характерный образец регистрируемых спектров, более детально показан спектральный интервал, используемый в данной работе для определения вертикального профиля концентрации HDO в атмосфере.

В диапазоне $4112\text{--}4120\text{ cm}^{-1}$ в спектре пропускания атмосферы выбрана группа спектральных линий HDO, подходящая для определения вертикального профиля концентрации и полного содержания в атмосферном столбе данного изотопомера.

Экспериментальные данные о соотношении концентрации изотопомеров HDO и H_2O в атмосфере важны для описания качественных и количественных характеристик процессов испарения и конденсации в атмосфере. Величина отношения HDO/ H_2O для определенной воздушной массы изменяется в процессах фазовых превращений и является трассером «силы гидрологического цикла» [4]. Распределение величины отношения HDO/ H_2O в атмосфере отражает предысторию формирования воздушных масс и характеризует перенос скрытого тепла из тропического пояса к средним и высоким широтам [5, 6].

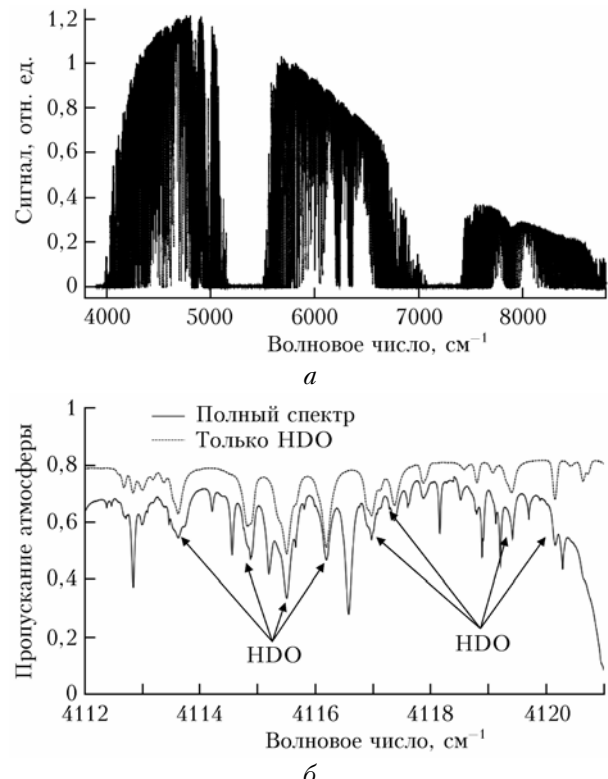


Рис. 1. Образец измеренного спектра на УАФС (а) и спектральный интервал, используемый для определения вертикального профиля концентрации HDO в атмосфере (б). Стрелками указаны достаточно сильные линии HDO, наблюдаемые в атмосферных спектрах

Мониторинг изотопного состава атмосферного водяного пара может улучшить понимание процессов фазовых превращений воды в ходе гидрологического цикла и уточнить параметры моделей общей циркуляции атмосферы, учитывающих разделение изотопов воды. Для изучения вертикальных профилей отношения HDO/ H_2O в атмосферном водяном паре крайне редко, ввиду сложности экспериментов, используются самолетные измерения [7].

Достаточно новым и перспективным для данной задачи в настоящее время является метод дистанционного зондирования с использованием данных измерений уходящего теплового излучения Земли спутниками ИК-Фурье-спектрометрами высокого разрешения. Метод был предложен в [8] и впервые реализован в [9, 10]. Идея использования линий HDO и H_2O тепловой ИК-области спектра атмосферы для определения отношения HDO/ H_2O по данным Фурье-спектрометров наземного базирования была представлена в работе [11] и реализована в [12, 13].

В настоящей статье впервые используются линии HDO из ближней ИК-области спектра пропускания атмосферы для определения вертикального профиля отношения концентраций HDO/ H_2O в атмосфере и отношения HDO/ H_2O в атмосферном столбе.

В геофизике принято оперировать величиной δHDO , определяемой как

$$\delta\text{HDO} = (R/R_0 - 1) \cdot 1000 \text{ ‰}, \quad (1)$$

где $R = \text{HDO}/\text{H}_2\text{O}$ — текущее отношение относительного содержания тяжелой воды в атмосфере; $R_0 = R_{\text{SMOW}} = 3,1069 \cdot 10^{-4}$ (Standard Mean Ocean Water) — стандартное отношение для океанической воды.

Для решения обратной задачи по определению вертикального профиля $\delta\text{HDO}(h)$ в атмосфере (h — высота) из измеренных спектров пропускания использован оригинально модифицированный метод регуляризации Тихонова. Экстрагированную из спектров пропускания оптическую толщину атмосферы в линиях искомых газов можно записать в виде

$$\tau_{\text{HDO}}(v) = \int_0^H N_{\text{HDO}}(h) \left(\sum_j S_j(T(h)) \times \right. \\ \left. \times \Phi_j(v - v_j, T(h), p(h)) \right) \sec(\theta(h)) dh, \quad (2)$$

где p , T , N_{HDO} — вертикальные профили давления, температуры и концентрация молекул HDO соответственно; θ — зенитный угол Солнца; S_j , Φ_j — интенсивность и контур спектральной линии. Суммирование в (2) ведется по всем спектральным линиям, которые вносят свой вклад в поглощение в канале с волновым числом v . Ширина спектральной линии является функцией температуры и давления атмосферы на высоте h . Оптическая толщина в виде (2) использовалась в качестве входного вектора данных для решения обратной задачи, где выходным вектором являлся искомый профиль отношения концентраций $\text{HDO}/\text{H}_2\text{O}$. В дискретном виде в обозначениях $\tau \rightarrow y$ и $\delta\text{HDO} \rightarrow x$ задача нахождения искомого профиля путем минимизации целевой функции может быть записана следующим образом:

$$\mathbf{Ax} = \mathbf{y}; \\ J(\mathbf{x}) = \|\mathbf{Ax} - \mathbf{y}\|^2 + \alpha \Omega(\mathbf{x}) \rightarrow \min; \quad (3) \\ \Omega(\mathbf{x}) = \langle (\mathbf{x} - \mathbf{x}^*), \mathbf{N}_{\text{H}_2\text{O}}(\mathbf{x} - \mathbf{x}^*) \rangle.$$

Здесь \mathbf{y} — спектр оптической толщины атмосферы, полученный из измеренного спектра; \mathbf{x} — искомый профиль $\delta\text{HDO}(h)$ в атмосфере; \mathbf{A} — оператор прямой модели; $J(\mathbf{x})$ — целевая функция; $\Omega(\mathbf{x})$ — регуляризатор, используемый в данной работе. Угловыми скобками обозначено скалярное произведение векторов; \mathbf{x}^* — начальное приближение для профиля δHDO , рекомендованное в работе [12]; $\mathbf{N}_{\text{H}_2\text{O}}$ — профиль водяного пара в атмосфере; α — параметр регуляризации. Произведение векторов $\mathbf{N}_{\text{H}_2\text{O}}(\mathbf{x} - \mathbf{x}^*)$ — покомпонентное. Начальные приближения для профилей H_2O и профиль температуры брались из базы данных ретроспективного анализа NCEP/NCAR [14].

Полученный для профиля δHDO методом (3) результат показан на рис. 2, *a*.

Все выбранные спектры были обработаны с помощью программного пакета GFIT, принятого в ка-

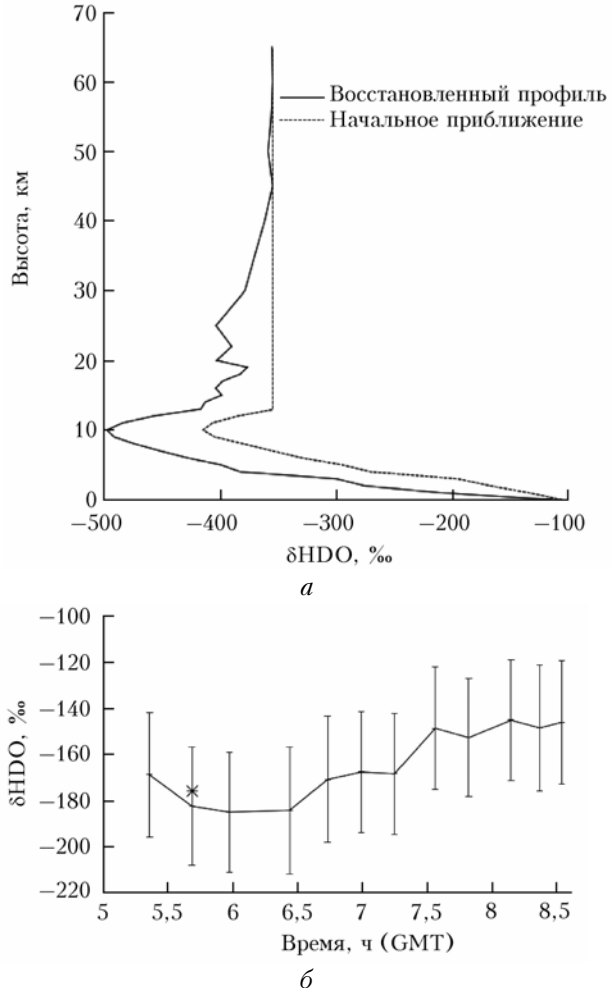


Рис. 2. Восстановленный вертикальный профиль $\delta\text{HDO}(h)$ по спектрам 08.09.2009 г. (*a*) соответствует величине $\delta\text{HDO}^* = -176 \text{ ‰}$ (звездочка на рис. 2, *b*); *b* — результат обработки спектров программным пакетом GFIT для определения δHDO^* в атмосферном столбе

честве стандарта в системе Total Carbon Observing Network (TCCON) [15]. При этом использовались все микроокна ближнего ИК-диапазона, рекомендуемые TCCON для определения содержания в атмосфере HDO и H_2O . Результаты обработки с использованием GFIT, полученные по $\text{HDO}/\text{H}_2\text{O}$ для всего атмосферного столба δHDO^* , показаны на рис. 2, *b*. Значения, полученные для δHDO^* обоими методами, находятся в хорошем согласии между собой. Дисперсия значений δHDO^* , полученных разными методами, в данном случае дает оценку ошибки определения относительного содержания тяжелой воды в атмосферном столбе $\sim 12\%$. Следует отметить, что положения максимумов весовых функций (строк матрицы \mathbf{A}) по абсолютной величине представлены только двумя узлами в использованной высотной сетке на высотах 1 и 2 км, поэтому вид восстановленного высотного профиля величины δHDO может зависеть от вида профиля начального приближения.

Особенности восстановленного профиля на высотах в окрестности 10 км отражают вклад априор-

ной информации в виде профиля начального приближения, подкорректированного информацией, содержащейся в спектре. Что касается особенностей восстановленного профиля на 18–21 км, они, вероятно, отражают, главным образом, совокупный вклад измерительного шума и неопределенности в остальных, фиксированных для данной задачи, параметрах атмосферы, поскольку вариации в спектре, обусловленные вариациями в концентрации HDO, на этих высотах меньше этого совокупного вклада.

В заключение отметим, что создание УАФС в Коуровке является важным шагом в расширении международной сети TCCON на регион Урала и Западной Сибири. Данный атмосферно-спектрометрический комплекс позволит решать задачи мониторинга парниковых и загрязняющих атмосферу газов в этом регионе, а также проводить валидацию спутниковых данных, таких как данные GOSAT и др.

Данные исследования частично были поддержаны грантами РФФИ № 09-01-00474-а, 09-01-00649-а, госконтрактами Р1151 и Р1571 Министерства образования и науки РФ и грантом Отделения математики РАН.

1. <http://www.iao.ru/en/resources/equip/dev/meteo2/>
2. <http://aeronet.gsfc.nasa.gov/>
3. Notholt J., Schrems O. Ground-based FTIR measurements of vertical column densities of several trace gases above Spitzbergen // Geophys. Res. Lett. 1994. V. 21, N 13. P. 1355–1358.
4. Noone D. Evaluation of hydrologic cycles and processes with water isotopes // Proc. First Pan-GEWEX science meeting. Frascati, Italy, October 2006.
5. Joussaume S., Sadourny R., Jouzel J. A general circulation model of water isotope cycles in the atmosphere // Nature (Gr. Brit.). 1984. V. 311, N 5981. P. 24–29.

K.G. Gribanov, V.I. Zakharov, S.A. Beresnev, N.V. Rokotyan, V.A. Poddubny, R. Imasu, P.A. Chistyakov, G.G. Skorik, V.V. Vasin. The sounding of HDO/H₂O in Ural's atmosphere using ground-based measurements of IR-solar radiation with high spectral resolution.

Ural Atmospheric Fourier Station (UAFS) on the base of Bruker IFS-125M interferometer conjugated with automated solar tracker A547N is described. UAFS is located in forest area (57.038N; 59.545E) in order to monitoring trace gases in the background atmosphere. The examples of measured atmospheric transmittance of solar radiation in near IR with high spectral resolution and first results of retrieval of HDO/H₂O in Ural atmosphere are presented.

6. Jouzel J., Russell G.L., Suozzo R.J., Koster R.D., White J.W.C., Broecker W.S. Simulation of the HDO and H₂¹⁸O atmospheric cycles using the NASA GISS general circulation model: the seasonal cycle for present-day conditions // J. Geophys. Res. D. 1987. V. 92, N 12. P. 14739–14760.
7. Ehhalt D.H., Rohrer F., Fried A. Vertical profiles of HDO/H₂O in the troposphere // J. Geophys. Res. D. 2005. V. 110. D13301, doi: 10.1029/2004JD005569.
8. Грибанов К.Г., Захаров В.И. О возможности мониторинга содержания HDO/H₂O в атмосфере, используя наблюдения из космоса уходящего теплового излучения // Оптика атмосф. и океана. 1999. Т. 12, № 9. С. 33–37.
9. Zakharov V.I., Imasu R., Gribanov K.G., Hoffmann G., Jouzel J. Latitudinal distribution of deuterium to hydrogen ratio in the atmospheric water vapor retrieved from IMG/ADEOS data // Geophys. Res. Lett. 2004. V. 31, N 12. P. 723–726.
10. Worden J.R., Bowman K., Noone D., and TES team members. TES observations of the tropospheric HDO/H₂O ratio: retrieval approach and characterization // J. Geophys. Res. D. 2006. V. 111, N 16. D16309, doi: 10.1029/2005JD006606.
11. Грибанов К.Г., Захаров В.И., Кобаяши Н., Шимомата А. Определение HDO/H₂O в атмосфере из данных наземного сенсора TIIS // Оптика атмосф. и океана. 2000. Т. 13, № 10. С. 910–913.
12. Schneider M., Hase F., Blumenstock T. Ground-based remote sensing of HDO/H₂O ratio profiles: introduction and validation of an innovative retrieval approach // Atmos. Chem. Phys. 2006. V. 6, N 12. P. 4705–4722.
13. Топтыгин А.Ю., Грибанов К.Г., Захаров В.И., Касай Я., Карава А., Мураяма Я., Имасу Р., Шмидт Г.А., Хоффманн Г., Жукель Ж. Определение вертикального профиля HDO/H₂O из спектров пропускания атмосферы высокого разрешения // Оптика атмосф. и океана. 2007. Т. 20, № 3. С. 247–252.
14. <http://www.esrl.noaa.gov/psd/data/gridded/data.ncep.reanalysis.html>
15. <http://tccn.caltech.edu/>